

硼氢及客体二十面体簇合物的结构和稳定性 *

张彩云 武海顺

(山西师范大学化学与材料科学学院, 临汾 041004)

摘要 在 $B_{12}H_{12}^n$ ($n = 0, -1, -2, -3, -4$) 簇合物几何构型及稳定性研究的基础上, 进一步对它的各种内含式和外接式二十面体簇合物 ($X@B_{12}H_{12}^{2-}$ 和 $XB_{12}H_{12}^{2-}$, $X = H^{0/+}, Li^{0/+}, He, Ne, Be^{0/2+}, Na^+, Mg^{2+}$) 进行了优化和计算。发现在内含式结构 $X@B_{12}H_{12}^{2-}$ 中, 当 $X = Li^+, Be^{2+}, Mg^{2+}$ 时, 构型较稳定; 在外接式结构中, $XB_{12}H_{12}^{2-}$ (C_{3v}) 结构比 $XB_{12}H_{12}^{2-}$ (C_{2v}) 的结构稳定。通过 IRC 计算, 确定 $XB_{12}H_{12}^{2-}$ (C_{2v}) 是 X 与 $B_{12}H_{12}^{2-}$ 作用生成产物 $XB_{12}H_{12}^{2-}$ (C_{2v}) 的一种过渡态。

关键词: $B_{12}H_{12}^{2-}$ 簇合物, 结构和稳定性, 核独立化学位移, 能隙, 包含能

中图分类号: O641

近年来, 簇合物 B_{12} 和 $B_{12}H_{12}^{2-}$ 的理论^[1-5]和实验^[6-10]研究受到了广泛的关注。对这些簇合物的研究表明, 如果在其笼内或笼外分别填加原子或离子, 且理论计算表明它们能够稳定存在, 则包含这种客体的多面体结构的新物质或聚合材料可望被合成。因此, 从理论上研究这些簇合物电子结构的规律性具有重要的意义。 $B_{12}H_{12}^{2-}$ 簇合物离子的笼状结构比 B_{12} 的结构更稳定^[11-12]。为研究这种稳定结构与客体 X 的作用机理, 本文对 $B_{12}H_{12}^{2-}$ 的各种内含式 $X@B_{12}H_{12}^{2-}$ 和外接式 $XB_{12}H_{12}^{2-}$ 的结构进行了优化和能量计算, 并对稳态结构进行了探讨。

1 计算方法

在 B3LYP/6-311G 密度泛函理论的水平上, 对 $B_{12}H_{12}^n$ ($n = 0, -1, -2, -3, -4$) 进行结构优化和能量计算, 得出具有 I_h 对称性的 $B_{12}H_{12}^{2-}$ 结构是能量最低态。然后在该稳态结构的笼内和笼外分别嵌入 $X = H \sim Mg$ 的原子和相应的离子, 进一步优化并预测结构的稳定性。全部计算均采用 Gaussian 98 程序^[13]。

2 结果与讨论

2.1 $B_{12}H_{12}^n$ ($n = 0, -1, -2, -3, -4$)

图 1 给出了优化得到的 $B_{12}H_{12}^n$ ($n = 0, -1, -2, -3, -4$)

簇合物的几何构型。所得能量、结构参数以及核独立化学位移 (NICS) 值^[14]列于表 1 中。从表 1 可知, 当在稳态结构 $B_{12}H_{12}^{2-}$ 中分别填充和移去 1 ~ 2 个电子时, 体系的总能量均分别依次升高, 其稳定性顺序为 $B_{12}H_{12}^{2-} > B_{12}H_{12}^- > B_{12}H_{12}^0 > B_{12}H_{12}^{3-} > B_{12}H_{12}^{4-}$ 。这一顺序可从 $B_{12}H_{12}^{2-}$ 分子的前线轨道得到说明。图 2 为 $B_{12}H_{12}^{2-}$ 的 HOMO 和 LUMO 的等值面图。HOMO-34(0.2) ~ HOMO-37(0.2) 是密度值为 0.2 的四重简并分子轨道 (G_u), 其能量为 0.49 eV。轨道呈中心反对称分布, 电子云集中于每个 B-B-B 构成的三角形结构单元之上, 形成向心式 3- 中心键。而在 B-H 键方向上的电子云密度等于零, 表明 HOMO 对于 B-H 键来说起着非键轨道的作用, 从该轨道中移去电子, 对 B-H 键的强度影响不大。因此, HOMO 中移去电子的过程则只能发生在笼的

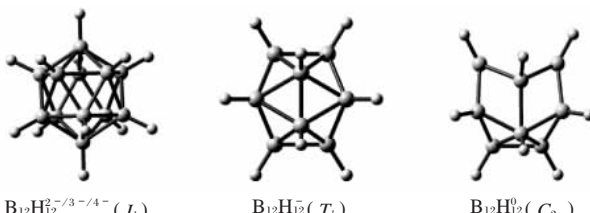


图 1 $B_{12}H_{12}^n$ ($n = 0, -1, -2, -3, -4$) 簇合物的几何构型

Fig. 1 Geometric configurations of cluster $B_{12}H_{12}^n$ ($n = 0, -1, -2, -3, -4$)

表 1 $\text{B}_{12}\text{H}_{12}^n$ ($n = 0, -1, -2, -3, -4$) 结构的总能量 E_T (a. u.)、零点能 ZPE(eV)、最低振动频率 $\omega_1(\text{cm}^{-1})$ 、能隙 $E_g(\text{eV})$ 、核独立化学位移 NICS、自然电荷 q 和键长 $R(\text{nm})$

Table 1 Total energies E_T (a. u.), zero-point energies (eV), lowest vibrational frequencies $\omega_1(\text{cm}^{-1})$, energy gaps $E_g(\text{eV})$, nucleus independent chemical shift NICS, natural charges q and bond lengths $R(\text{nm})$ of $\text{B}_{12}\text{H}_{12}^n$ clusters

Cluster	PG	E_T	ZPE	ω_1	E_g	NICS	$R_{\text{B}-\text{B}}$	$R_{\text{B}-\text{H}}$	q_{B}	q_{H}
${}^1\text{B}_{12}\text{H}_{12}^{2-}$	I_h	-305.67016	4.52	506.4(H_u)	7.65	-25.04(0.13)	0.1798	0.1199	0.074	-0.24
${}^2\text{B}_{12}\text{H}_{12}^{3-}$	I_h	-305.32760	4.33	509.5(H_u)	7.23	-29.82(0.14)	0.1789	0.1220	0.185	-0.435
${}^1\text{B}_{12}\text{H}_{12}^{4-}$	I_h	-304.86790	4.15	510.8(H_u)	1.60	-33.72(0.14)	0.1787	0.1250	0.288	-0.622
${}^2\text{B}_{12}\text{H}_{12}^-$	T_h	-305.63602	4.34	213.9(T_u)	1.92	42.06(1.89)	0.1805*	0.1187*	0.014	-0.097
${}^1\text{B}_{12}\text{H}_{12}^0$	C_{2v}	-305.46483	4.45	283.1(A_1)	3.89	-11.14(24.35)	0.1837*	0.1181*	-0.048*	0.048*

The number at top left corner is multiplicity. NICS at the geometric centers, number in parentheses is the anisotropy at the geometric centers.
* for the average values

骨架分子轨道上, 同时由于 Jahn-Teller 效应, 分子构型将会发生畸变而消除简并性, 并导致一些 B-B-B 单元的键长增加或断裂, 使分子的对称性降低为 T_h 和 C_{2v} . LUMO-38 为非简并分子轨道 (A_g), 图中分别列出了密度为 0.2、0.25 和 0.4 $e \cdot \text{bohr}^{-3}$ 的等值面图. LUMO 显示每个 B 原子提供一个垂直于 B_{12} 骨架的 p 轨道, 在 B_{12} 笼的内部形成电子云交盖中心. 这种向心式 12- 中心键轨道在 $\text{B}_{12}\text{H}_{12}^2$ 笼中呈全对称分布, 而在笼外的各个顶点上, B 与 H 之间具有显著的反键作用, 氢原子上有较大的电子云聚集. 因此, 当向 LUMO 中填充电子时, 电荷将主要分布在笼外的 H 原子上, 使 q_{H} 值变大. 同时由于反键作用, 使得 $R_{\text{B}-\text{H}}$ 增大, 而笼略有收缩 ($R_{\text{B}-\text{B}}$ 减小), 总能量 E_T 升高. 表 1 中还列出了核独立化学位移 (NICS) 值, 从 $\text{B}_{12}\text{H}_{12}^n$ ($n = -2, -3, -4$) 的笼结构可看出, NICS 值全为负值, 而且笼中心位置的各向异性值也很小, 具有较强的芳香性, 产生的离域效应使

得整个笼上的电荷分布均匀, 键长平均化. 但在 $\text{B}_{12}\text{H}_{12}^n$ ($n = 0, -1$) 结构中, 芳香性降低 ($n = 0$ 时), 甚至为反芳香性 ($n = -1$ 时). 因而, 离域效应减弱, 最低振动频率 ω_1 和能隙 E_g 值减小, 总能量 E_T 值增大.

2.2 $\mathbf{X@B}_{12}\text{H}_{12}^2$ ($\mathbf{X} = \mathbf{H}^{0/+}, \mathbf{Li}^{0/+}, \mathbf{He}, \mathbf{Ne}, \mathbf{Be}^{0/2+}, \mathbf{Na}^+, \mathbf{Mg}^{2+}$)

各种内含式结构 $\mathbf{X@B}_{12}\text{H}_{12}^2$ ($\mathbf{X} = \mathbf{H}^{0/+}, \mathbf{Li}^{0/+}, \mathbf{He}, \mathbf{Ne}, \mathbf{Be}^{0/2+}, \mathbf{Na}^+, \mathbf{Mg}^{2+}$) 计算的结果列于表 2 中.

在 $\text{B}_{12}\text{H}_{12}^2$ 稳定结构中, 当嵌入原子或离子后, 笼胀大, B-B 键距平均增加约 5% 左右, 而笼外的 B-H 键距平均减小不到 1%, 说明嵌入的中心原子或离子主要与笼的骨架结构发生了作用. 这可从表 2 中的 q_x 值看出: 除了 He 和 Ne(电负性所致)几乎未从笼上获得电子外, 其余客体均从笼上获得了电子. 由于骨架分子轨道上失去了电子, 所以使 B-B 键减弱而变长. 另外, 各种内含式结构的 NICS 值

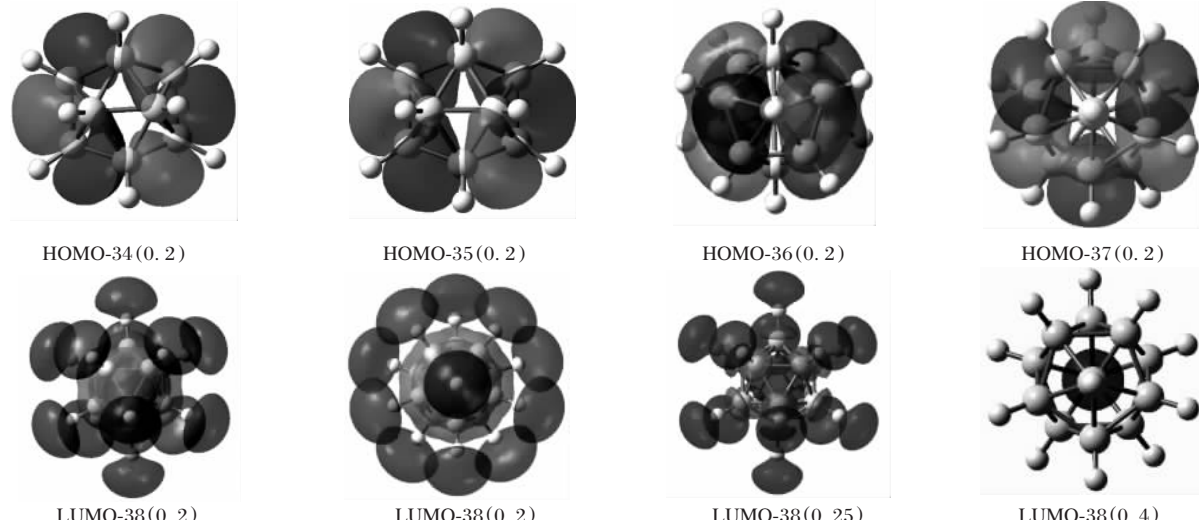


图 2 $\text{B}_{12}\text{H}_{12}^2$ 簇合物的 HOMO 和 LUMO 的等值面图

Fig. 2 Contour diagram of HOMO and LUMO for $\text{B}_{12}\text{H}_{12}^2$ clusters

表 2 $\text{X}@\text{B}_{12}\text{H}_{12}^{2-}$ (I_h) 结构的总能量 E_T (a. u.)、零点能 ZPE(eV)、最低振动频率 $\omega_1(\text{cm}^{-1})$ 、能隙 E_g (eV)、键长 R (nm)、中心原子电荷 q_x 、核独立化学位移 NICS 和包含能 E_{inc} (kJ · mol⁻¹)

Table 2 Total energies E_T (a. u.), zero-point energies(eV), lowest vibrational frequencies $\omega_1(\text{cm}^{-1})$, energy gaps E_g (eV), bond lengths R (nm), center atomic charges q_x , nucleus independent chemical shift NICS and inclusion energies E_{inc} (kJ · mol⁻¹) of $\text{X}@\text{B}_{12}\text{H}_{12}^{2-}$ (I_h) structures

	$-E_T$	ZPE	ω_1	E_g	$R_{\text{B}-\text{X}}$	$R_{\text{B}-\text{B}}$	$R_{\text{B}-\text{H}}$	q_x	NICS	E_{inc}
² H@ $\text{B}_{12}\text{H}_{12}^{2-}$	306.02812	4.61	467.0	6.02	0.1730	0.1826	0.1200	-2.073	-10.21(24.98)	-387.31
¹ H ⁺ @ $\text{B}_{12}\text{H}_{12}^{2-}$	306.11606	4.46	-1130.6(3)	5.29	0.1440	0.1817	0.1180	0.300	-10.08(25.33)	1177.00
² Li@ $\text{B}_{12}\text{H}_{12}^{2-}$	312.93621	4.56	393.9	6.65	0.1780	0.1879	0.1180	-2.40	-8.26(29.38)	-519.86
¹ Li ⁺ @ $\text{B}_{12}\text{H}_{12}^{2-}$	313.09023	4.58	395.5	7.43	0.1780	0.1882	0.1180	-1.085	-9.93(24.92)	349.20
¹ He@ $\text{B}_{12}\text{H}_{12}^{2-}$	308.31862	4.60	421.5	7.42	0.1770	0.1868	0.1190	0.043	-8.69(24.71)	-702.33
¹ Ne@ $\text{B}_{12}\text{H}_{12}^{2-}$	433.97261	4.15	257.0	7.37	0.1910	0.2016	0.1200	0.161	-8.79(21.52)	-1667.20
¹ Be@ $\text{B}_{12}\text{H}_{12}^{2-}$	319.96419	4.03	201.8	1.09	0.1780	0.1879	0.1200	-2.932	-12.97(27.67)	-942.78
¹ Be ²⁺ @ $\text{B}_{12}\text{H}_{12}^{2-}$	320.19983	4.51	379.8	8.70	0.1790	0.1883	0.1170	-1.51	-8.84(27.87)	2303.63
¹ Na ⁺ @ $\text{B}_{12}\text{H}_{12}^{2-}$	467.45613	4.20	211.0	7.21	0.1930	0.2038	0.1180	-0.843	-9.00(22.71)	-749.27
¹ Mg ²⁺ @ $\text{B}_{12}\text{H}_{12}^{2-}$	505.21631	4.20	181.6	7.52	0.1940	0.2043	0.1150	0.049	-8.60(24.05)	831.70

NICS for the points 0.1 nm above the unique triangles; inclusion energy: $E_{\text{inc}} = E(\text{X}) + E(\text{B}_{12}\text{H}_{12}^{2-}) - E(\text{X}@\text{B}_{12}\text{H}_{12}^{2-})$. Other is same as table 1.

均为负值, 与 $\text{B}_{12}\text{H}_{12}^{2-}$ 笼面上的 NICS 值(-9.64)比较相差不大, 说明笼面上的芳香性依然存在。这进一步表明, 嵌入的原子或离子等客体与主体的作用基本上发生在笼内, 且保持 I_h 对称性不变。从能量的角度考虑, 当嵌入的客体 $\text{X}=\text{H}, \text{Li}, \text{He}, \text{Ne}, \text{Be}$ 和 Na^+ 时, 其内含式结构的 E_{inc} 为负值, 表明这些结构不能稳定存在。当 X 为 $\text{Li}^+, \text{Be}^{2+}$ 和 Mg^{2+} 正离子时, E_{inc} 均为正值, E_g 值也较大, 其顺序为 $\text{Be}^{2+} > \text{Mg}^{2+} > \text{Li}^+$, 与能量 E_T 和 E_{inc} 的变化顺序完全一致, 并能够稳定存在。但对由 H^+ 所形成的 $\text{H}^+@\text{B}_{12}\text{H}_{12}^{2-}$ 结构, 虽然 E_{inc} 为正值, 却不是稳定态($N_{\text{img}}=3$), 说明 H^+ 在笼内不易发生质子化作用^[15-16]。

2.3 $\text{XB}_{12}\text{H}_{12}^{2-}$ ($\text{X}=\text{H}^{0/+}, \text{Li}^{0/+}, \text{Be}^{0/2+}, \text{Na}^+, \text{Mg}^{2+}$)

如果嵌入原子或离子束的能量不是很高, 则可停留在 $\text{B}_{12}\text{H}_{12}^{2-}$ 的笼外, 并与之作用而形成外接式 $\text{XB}_{12}\text{H}_{12}^{2-}$ 结构。由于 $\text{B}_{12}\text{H}_{12}^{2-}$ 结构笼面上的各向异性值不同, 所以原子或离子在笼外不同部位上的结合作用是不同的, 并可形成 C_{2v} 和 C_{3v} 两种不同对称性的异构体(图 3 所示)。本文对这些外接式结构进行了优化和能量计算, 结果列于表 3 中。

从表 3 中数据可知, 中性原子 H, Li 和 Be 在笼外与 $\text{B}_{12}\text{H}_{12}^{2-}$ 的结合, 从能量角度考虑可以进行, 因结合能 E_b 均为正值, 但却不是稳定态($N_{\text{img}}=1$)。这可从本文计算所得未配对电子自旋密度 $S_{\text{H}}=$

0.974, $S_{\text{Li}}=0.980$ 看出: 它们基本保持具有单电子的原子状态, 未能有效成键。但对于相应的离子态 $\text{H}^+, \text{Li}^+, \text{Be}^{2+}, \text{Na}^+$ 和 Mg^{2+} , 它们可与 $\text{B}_{12}\text{H}_{12}^{2-}$ 笼面上的 B 成键并形成具有单重态的 $\text{XB}_{12}\text{H}_{12}^{2-}$ (C_{2v}) 和 $\text{XB}_{12}\text{H}_{12}^{2-}$ (C_{3v}) 结构。对于同一种客体离子而言, 从 $\text{XB}_{12}\text{H}_{12}^{2-}$ (C_{2v}) 到 $\text{XB}_{12}\text{H}_{12}^{2-}$ (C_{3v}), 除 ZPE 数值变化不大外, 其他参量的变化则呈现一定的规律性: E_T 降低, ω_1 增大, E_g 增大, E_b 增大, $R_{\text{B}-\text{X}}$ 增大, α 减小, q_x 减小(得电子倾向增大)。基于这些参量变化的一致性, 得出 $\text{XB}_{12}\text{H}_{12}^{2-}$ (C_{3v}) 结构全部为稳定态($N_{\text{img}}=0$); 而 $\text{XB}_{12}\text{H}_{12}^{2-}$ (C_{2v}) 结构全部为过渡态($N_{\text{img}}=1$), 它有可能转化为一种 X 取代 H 的产物结构。因这种取代产物及其衍生物是稳定存在的^[17-18], 同时也有可能转化为 $\text{XB}_{12}\text{H}_{12}^{2-}$ (C_{3v}) 的稳态结构。本文在 B3LYP/6-311G 的水平上, 用 IRC 检验方法, 最后确定了 $\text{XB}_{12}\text{H}_{12}^{2-}$ (C_{2v}) 是反应物($\text{X}+\text{B}_{12}\text{H}_{12}^{2-}$)转化成产物 $\text{XB}_{12}\text{H}_{12}^{2-}$ (C_{3v}) 的一种过渡态。

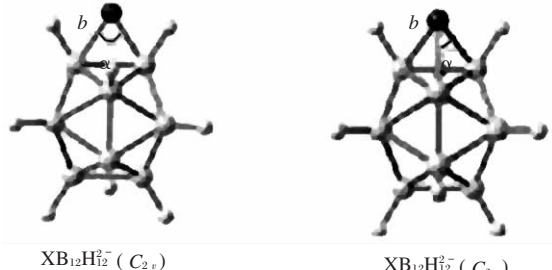


图 3 $\text{XB}_{12}\text{H}_{12}^{2-}$ 簇合物的几何构型与对称性

Fig. 3 Geometry and symmetry of $\text{XB}_{12}\text{H}_{12}^{2-}$ clusters

b: bond length of B-X, α : angle of B-X-B

表 3 $\text{XB}_{12}\text{H}_{12}^{2-}$ 结构的总能量 E_T (a. u.)、零点能(eV)、最低振动频率 $\omega_1(\text{cm}^{-1})$ 、能隙 E_g (eV)、键长 $R_{\text{B}-\text{x}}$ (nm)、键角 $\alpha(^{\circ})$ 、自然电荷 q_x 和结合能 $E_b(\text{kJ} \cdot \text{mol}^{-1})$

Table 3 $\text{XB}_{12}\text{H}_{12}^{2-}$ total energies E_T (a. u.), zero-point energies(eV), lowest vibrational frequencies $\omega_1(\text{cm}^{-1})$, gaps E_g (eV), bond lengths $R_{\text{B}-\text{x}}$ (nm), bond angles $\alpha(^{\circ})$, natural charges q_x and binding energies $E_b(\text{kJ} \cdot \text{mol}^{-1})$

	PG	E_T	ZPE	ω_1	E_g	$R_{\text{B}-\text{x}}$	α	q_x	E_b
$^2\text{HB}_{12}\text{H}_{12}^{2-}$	$C_{2v}(1)$	-306.1002	4.59	-123.9(B_2)	3.46	0.315	33.1	-0.028	259.91
$^2\text{LiB}_{12}\text{H}_{12}^{2-}$	$C_{2v}(1)$	-313.2180	4.60	-69.4(B_1)	5.33	0.232	45.4	-0.178	144.43
$^1\text{BeB}_{12}\text{H}_{12}^{2-}$	$C_{2v}(1)$	-320.3571	4.54	-78.4(B_2)	3.84	0.275	37.5	-0.166	42.55
$^1\text{H}^+\text{B}_{12}\text{H}_{12}^{2-}$	$C_{2v}(1)$	-306.2506	4.77	-242.0(B_1)	6.64	0.133	91.6	0.209	1514.44
$^1\text{Li}^+\text{B}_{12}\text{H}_{12}^{2-}$	$C_{2v}(1)$	-313.2802	4.63	-171.1(B_2)	4.30	0.210	50.7	0.650	843.08
$^1\text{Be}^{2+}\text{B}_{12}\text{H}_{12}^{2-}$	$C_{2v}(1)$	-320.2906	4.64	-250.7(B_1)	3.48	0.175	65.4	0.298	2572.99
$^1\text{Na}^+\text{B}_{12}\text{H}_{12}^{2-}$	$C_{2v}(1)$	-468.0431	4.60	-93.1(B_2)	3.45	0.247	42.9	0.836	745.63
$^1\text{Mg}^{2+}\text{B}_{12}\text{H}_{12}^{2-}$	$C_{2v}(1)$	-505.6563	4.56	-154.0(B_2)	1.95	0.219	50.0	1.290	1966.52
$^1\text{H}^+\text{B}_{12}\text{H}_{12}^{2-}$	$C_{3v}(0)$	-306.2561	4.79	429.9(E)	7.45	0.141	89.4	0.191	1520.93
$^1\text{Li}^+\text{B}_{12}\text{H}_{12}^{2-}$	$C_{3v}(0)$	-313.2883	4.64	259.1(E)	4.55	0.214	49.4	0.562	863.91
$^1\text{Be}^{2+}\text{B}_{12}\text{H}_{12}^{2-}$	$C_{3v}(0)$	-320.3138	4.67	406.6(E)	3.82	0.181	60.0	0.163	2587.43
$^1\text{Na}^+\text{B}_{12}\text{H}_{12}^{2-}$	$C_{3v}(0)$	-468.0486	4.60	147.4(E)	3.72	0.250	42.2	0.788	769.27
$^1\text{Mg}^{2+}\text{B}_{12}\text{H}_{12}^{2-}$	$C_{3v}(0)$	-505.6715	4.57	216.1(E)	2.56	0.223	47.9	1.096	2003.26

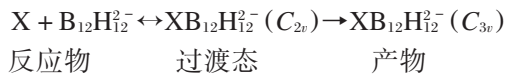
The number at top left corner is multiplicity. Number in parentheses is the number of imaginary frequency.

3 结 论

(1) $\text{B}_{12}\text{H}_{12}^{2-}$ 得电子后形成 $\text{B}_{12}\text{H}_{12}^{3-}$ 和 $\text{B}_{12}\text{H}_{12}^{4-}$ 结构, 对称性(I_h)保持不变, 但能量升高。失电子后, 部分 B-B 键增长或断裂而形成 $\text{B}_{12}\text{H}_{12}^{2-}$ (T_h)和 $\text{B}_{12}\text{H}_{12}^0$ (C_{2v})的结构, 对称性降低, 能量升高。

(2) 在内含式结构 $\text{X}@\text{B}_{12}\text{H}_{12}^{2-}$ 中, 当 $\text{X}=\text{Li}^+$ 、 Be^{2+} 和 Mg^{2+} 时, 无论从能量或从结构稳定性分析, 易于嵌入。而当 $\text{X}=\text{H}^+$ 、 He 、 Ne 、 Li 、 Be 和 Na^+ 时, 则需较高能量的原子或离子束嵌入。

(3) 当 $\text{X}=\text{H}^+$ 、 Li^+ 、 Be^{2+} 、 Na^+ 和 Mg^{2+} 离子时, 可与 $\text{B}_{12}\text{H}_{12}^{2-}$ 在笼外结合成 $\text{XB}_{12}\text{H}_{12}^{2-}$ (C_{3v})和 $\text{XB}_{12}\text{H}_{12}^{2-}$ (C_{2v})的外接式结构。其中 $\text{XB}_{12}\text{H}_{12}^{2-}$ (C_{3v})结构是一种稳定态, $\text{XB}_{12}\text{H}_{12}^{2-}$ (C_{2v})则是转化成 $\text{XB}_{12}\text{H}_{12}^{2-}$ (C_{3v})结构的一种过渡态, 其转化反应的过程可表示为



References

- Kawai, R. ; Weare, J. H. *J. Chem. Phys.*, **1991**, *95*: 1151
- Kato, H. ; Yamashita, K. ; Morokuma, K. *Bull. Chem. Rev.*, **1991**, *91*: 1035
- Werheit, H. ; Kuhlmann, U. ; Lundstr, T. On the structural effect of the insertion of carbon atoms in B_{12} icosahedra. In: Proceedings of the 11th Internationals Symposium on Boron, Borides and Related Compounds, Tsukuba, 1993, 5
- Boustani, I. *Chem. Phys. Lett.*, **1995**, *240*: 135; *Phys. Rev. B*, **1997**, *55*: 16426; *Surf. Sci.*, **1997**, *370*: 355; *J. Solid State Chem.*, **1997**, *133*: 182
- Gu, F. ; Yang, X. ; Tang, A. ; Jiao, H. ; Schleyer, P. *J. Comput. Chem.*, **1998**, *19*: 203
- Ruatta, S. A. ; Hanley, L. ; Anderson, S. L. *J. Chem. Phys.*, **1989**, *91*: 226
- Hintz, P. A. ; Ruatta S. A. ; Anderson, S. L. *J. Chem. Phys.*, **1990**, *92*: 292
- Hintz, P. A. ; Sowa, M. B. ; Ruatta, S. A. *J. Chem. Phys.*, **1991**, *94*: 6446
- Sowa-Resat, M. B. ; Smolanoff, J. ; Anderson, S. L. *J. Chem. Phys.*, **1997**, *106*: 9511
- La Placa, S. J. ; Roland, P. A. ; Wynne, J. J. *Chem. Phys. Lett.*, **1992**, *190*: 163
- Kawai, R. ; Weare, J. H. *Chem. Phys. Lett.*, **1992**, *191*: 311
- Hayami, W. *J. Am. Phys. Soc.*, **1999**, *60*: 1523
- Frish, M. J. ; Trucks, G. W. ; Schlegel, H. B. ; Pople, J. A. et al. Gaussian 98. Revision A. 7. Pittsburgh PA: Gaussian Inc., 1999
- Jiao, H. ; Schleyer, P. V. R. ; Mo, Y. ; McAllister, M. A. ; Tidwell, T. T. *J. Am. Chem. Soc.*, **1997**, *119*: 7075
- Disch, R. L. ; Schulman, J. M. *J. Am. Chem. Soc.*, **1981**, *103*: 3297
- Chen, Z. ; Jiao, H. *J. Phys. Chem. A*, **2003**, *107*: 2075
- Sivaev, I. B. ; Sjöberg, S. ; Bregadze, V. I. ; Gabel, D. *Tetrahedron letters*, **1999**, *40*: 3451
- Bernard, R. ; Cornu, D. ; Grüner, Bdozol, J. F. *J. Org. Chem.*, **2002**, *67*: 83

Structures and Stabilities of Borane and Guest Species Icosahedral Clusters*

Zhang Cai-Yun Wu Hai-Shun

(School of Chemistry and Material Science, Shanxi Normal University, Linfen 041004)

Abstract The equilibrium geometries and stabilities of $B_{12}H_{12}^n$ ($n = 0, -1, -2, -3, -4$) clusters are predicted by B3LYP/6-311G computations, at the same level, endo-and exo-icosahedral clusters ($X @ B_{12}H_{12}^{2-}$ and $XB_{12}H_{12}^{2-}$, $X = H^{0/+}, Li^{0/+}, He, Ne, Be^{0/2+}, Na^+, Mg^{2+}$) are discussed. It is found that the endo-icosahedral clusters ($X @ B_{12}H_{12}^{2-}$, $X = Li^+, Be^{2+}, Mg^{2+}$) are energetically favorable than the other exo-icosahedral clusters, and the exo-icosahedral clusters $XB_{12}H_{12}^{2-}$ (C_{3v}) are more stable than that of $XB_{12}H_{12}^{2-}$ (C_{2v}) structures, which are demonstrated by a transition state from IRC calculations.

Keywords: $B_{12}H_{12}^{2-}$ cluster, Structure and stability, Nucleus independent chemical shift(NICS), Energy gap, Inclusion energy

Received: July 16, 2003; Revised: September 8, 2003. Correspondent: Wu Hai-Shun(E-mail: wuhs@dns.sxtu.edu.cn; Tel: 0357-2051375).

*The Project Supported by Education Ministry of China and NSF of Shanxi Province(20011015)

第9届全国有机电化学与工业学术会议征文通知

由中国化工学会精细化工专业委员会主办,厦门大学承办的第9届全国有机电化学与工业学术会议,拟定于2004年12月在厦门召开。届时将邀请国内外著名的专家、学者与会并作大会报告,同时进行专题讨论和学术交流。

会议主题:交流、展示我国有机电化学近两年在基础研究、应用开发和产业化生产方面的最新进展;展望、规划21世纪我国有机电化学领域的发展前景。

1. 征文范围:有机电化学基础研究,有机电化学合成技术,有机电化学工业,电催化和修饰电极,有机电分析化学,有机光电化学,有机化学电源,新材料、新技术和绿色化学。已正式发表或在全国性或国际会议上报告过的论文不予受理。

2. 征文要求:提交论文的中文详细摘要(1,500~1,800字)两份,用A4复印纸激光打印,版芯规格为245 mm×165 mm。摘要内容应包括(按下列顺序编排):文题(三号黑体居中);作者(四号仿宋居中);单位(小四号宋体居中,含所在省市、邮政编码、联系电话和电子邮址);论文的创新性,研究意义与结果(五号宋体);关键词和主要参考文献(自版芯左起,五号宋体)。文稿中可穿插主要论据的图、表和照片,图题、图注和表题、表注一律用英文表述。应征者需向会议提供摘要磁盘(请用中文Word软件录入并生成".doc"文件)和单位介绍信,并注明联系人及电话、传真、电子邮址。稿件也可通过E-mail以附件形式传递,但需另附中文全文,英文(不少于800字符)摘要。

3. 收稿地址及联系人:福建省厦门市思明南路422号,厦门大学化学化工学院(邮编:361005),陈声培收。信封上请注明“第9届全国有机电化学与工业学术会议征文”字样。

联系电话:0592-2180181; 传真:0592-2180181; E-mail:shpchen@xmu.edu.cn

4. 截稿日期:2004年5月30日,以邮戳为凭。

筹备组将邀请和组织国内有关专家对应征论文进行评审,并争取在2004年7月前将处理意见告知论文作者。会议召开的具体时间及其它有关事宜将在2004年7月份第二轮通知中公告。为开好本次会议欢迎各方同行指导。

中国化工学会精细化工专业委员会

厦门大学

2003年11月